

# Aplicações de Transferência de Calor em CFD – Mini - curso

Engenharia Mecânica

URI – Campus de Erechim

Prof. Cristiano Vitorino da Silva

Objetivos: Implementar os principais modos de transferência de calor (condução, convecção e radiação, Figura 1.1) através de Dinâmica dos Fluidos Computacional - CFD, a fim de realizar uma introdução aos softwares de ICEM CDF (geometrias e malhas) e Ansys CFX (Volumes Finitos) verificando os resultados obtidos a fim de comprovar as teorias consolidadas na literatura.

## 1-Modos de transferência de calor

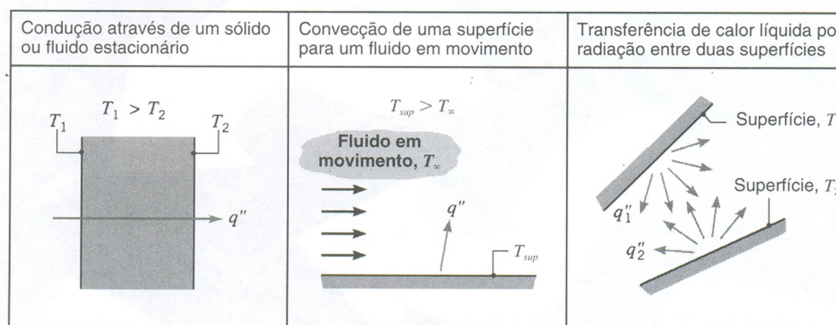


FIG. 1.1 Modos de transferência de calor: condução, convecção e radiação.

### 1.1 Condução: Meio SÓLIDO ou LÍQUIDO ESTACIONÁRIO.

A distribuição da temperatura num meio é modelada pela equação da difusão do calor:

$$\frac{\partial}{\partial x} \left( k \frac{\partial T}{\partial x} \right) + \frac{\partial}{\partial y} \left( k \frac{\partial T}{\partial y} \right) + \frac{\partial}{\partial z} \left( k \frac{\partial T}{\partial z} \right) + \dot{q} = \rho c_p \frac{\partial T}{\partial t}$$

Com a distribuição de temperaturas pode-se obter os fluxos de calor pela lei de Fourier:

$$q_x'' = -k \frac{dT}{dx}$$

**1.2 Convecção: SUPERFÍCIE SÓLIDA e um FLUIDO EM MOVIMENTO**, tanto natural como forçada.

**1.2.1 Convecção Forçada** - O escoamento é causado por meio externo – ventilador por exemplo!

Neste tipo de escoamento, o parâmetro importante para se avaliar se o escoamento é laminar ou turbulento é o número de Reynolds

$$Re_x = \frac{\rho u_\infty x}{\mu} \begin{array}{l} \longrightarrow \text{Forças de Inércia} \\ \longrightarrow \text{Forças viscosas} \end{array}$$

As Figuras 6.6 e 6.7 mostram o desenvolvimento de uma camada limite sobre uma placa plana e os perfis de velocidades para escoamentos quanto em regime laminar e em regime turbulento. O principal parâmetro a ser determinado na transferência de calor é o coeficiente de convecção:

$$h = \frac{-k_f \partial T / \partial y|_{y=0}}{(T_s - T_\infty)}$$

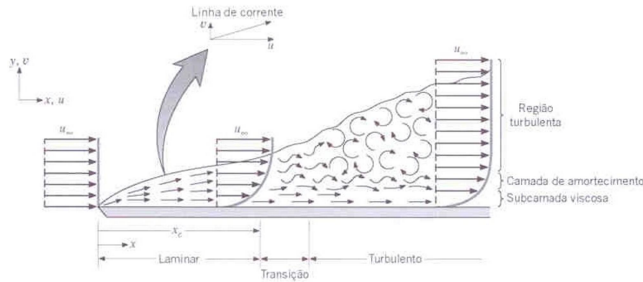


FIGURA 6.6 Desenvolvimento da camada-limite de velocidade sobre uma placa plana.

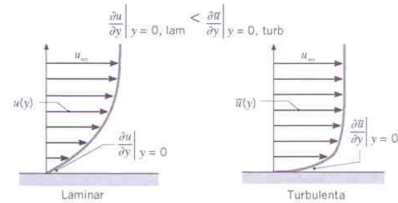


FIGURA 6.7 Comparação dos perfis de velocidades nas camadas-limite de velocidade laminar e turbulenta para a mesma velocidade na corrente livre.<sup>3</sup>

**1.2.2 Convecção Natural ou Livre** - O escoamento é induzido por forças de empuxo originadas por diferenças de massa específica, a qual é dependente de:

$$\rho = f(p, T, N_\infty)$$

Na convecção livre ou natural os efeitos da transferência de calor verificada sobre uma superfície são verificados na camada limite, a qual pode ser modelada pelas equações abaixo:

$$\frac{\partial u}{\partial x} + \frac{\partial v}{\partial y} = 0$$

$$\left( u \frac{\partial u}{\partial x} + v \frac{\partial u}{\partial y} \right) = g\beta_T (T - T_\infty) + \nu \left( \frac{\partial^2 u}{\partial y^2} \right)$$

$$\left( u \frac{\partial T}{\partial x} + v \frac{\partial T}{\partial y} \right) = \alpha \left( \frac{\partial^2 T}{\partial y^2} \right)$$

É importante observar que as camadas limite de convecção natural não estão restritas ao escoamento laminar. INSTABILIDADES FLUIDODINÂMICAS PODEM APARECER.

Distúrbios no escoamento podem ser amplificados, levando à transição de escoamento laminar para turbulento. Ver Fig. 9.5.

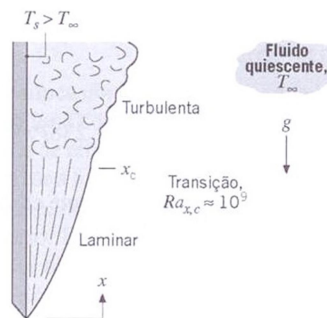


FIGURA 9.5 Transição na camada-limite de convecção natural em uma placa vertical.

Essa transição dependerá da magnitude relativa das forças de empuxo e das forças viscosas. É comum correlacionar sua ocorrência em termos do número de Rayleigh

$$Ra_{x,c} = Gr_{x,c} Pr = \frac{g\beta(T_s - T_\infty)x^3}{\nu\alpha} \approx 10^9$$

onde

$$Gr_L \equiv \frac{g\beta(T_s - T_\infty)L^3}{\nu^2} \begin{matrix} \longrightarrow & \text{Forças de Empuxo} \\ \longrightarrow & \text{Forças viscosas} \end{matrix}$$

Quando se avaliam escoamentos confinados em cavidades com superfícies em temperaturas diferentes podem surgir as instabilidades devido a variações de massa específica produzindo efeitos distintos, como mostrado na Figura 9.1.

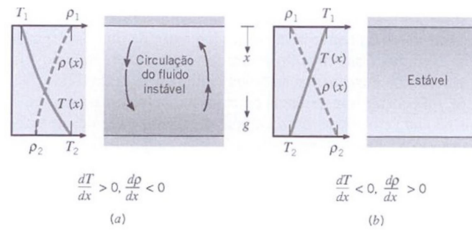


FIGURA 9.1 Condições em um fluido entre grandes placas horizontais a diferentes temperaturas. (a) Gradiente de temperatura instável. (b) Gradiente de temperatura estável.

Quando se tem a instalação da convecção natural pelo efeito do empuxo surgem escoamentos característicos de recirculação como os verificados na Figura C.1.

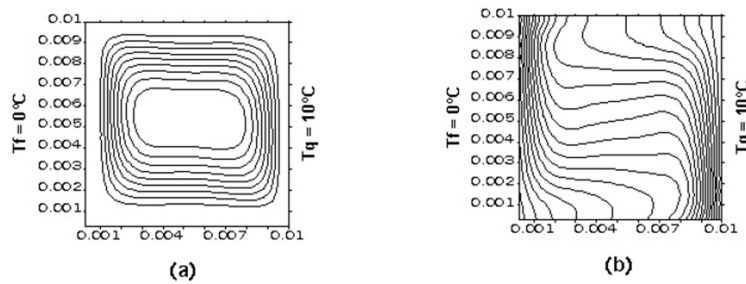


Figura C.1 – Problema clássico de convecção natural em uma cavidade quadrada: (a) Função de corrente, (b) Isotermas.

**1.3 Radiação - NÃO PRECISA DE UM MEIO.** Toda a superfície que tiver temperatura não nula ( $T > 0K$ ) transfere energia na forma de ondas eletromagnéticas. Assim, o espectro de radiação pode ser verificado na Figura 12.3.

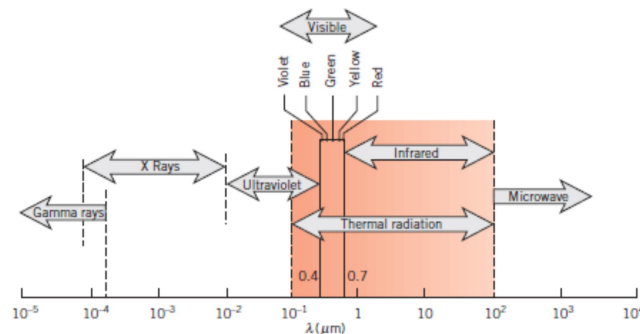
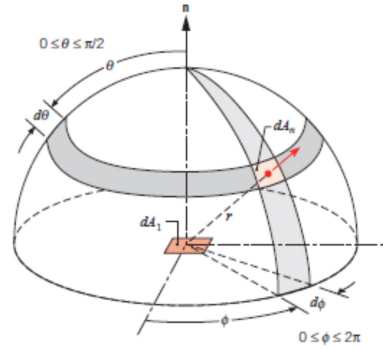


FIGURE 12.3 Spectrum of electromagnetic radiation.

Como a radiação é uma troca líquida de energia entre superfícies tem-se que mutuamente temos emissão e absorção de energia. Considere uma superfície de área  $dA$ , como a mostrada na Figura 12.9, verifica-se que a sua emissão se dará em diferentes direções sobre todo o hemisfério formado sobre esta superfície, considerando um ângulo sólido formado em torno de cada uma destas direções. Além disto, deve-se prever também a integração da radiação em seu espectro de emissão, considerando-se o meio participante ou não no processo.



**FIGURE 12.9** Emission from a differential element of area  $dA_1$  into a hypothetical hemisphere centered at a point on  $dA_1$ .

A radiação é então modelada pela conhecida RTE – *Radiative Transfer Equation*. Existem vários métodos para a resolução da RTE sob o ponto de vista espacial da transferência de calor. Entretanto, não há um método que apresente bons resultados em todas as aplicações, cada um possui suas limitações e vantagens.

O modelo DTRM assume que a radiação que deixa a superfície de um elemento em uma determinada gama de ângulos sólidos pode ser aproximada pelo comportamento de um único raio. A equação para a variação da intensidade radiante ( $I$ ) em  $[\text{W}/\text{m}^2]$  ao longo do percurso ( $s$ ) em  $[\text{m}]$ , já considerando-se o meio difuso, é definida por,

$$\frac{dI}{ds} + \alpha I = \frac{\alpha \sigma T^4}{\pi}$$

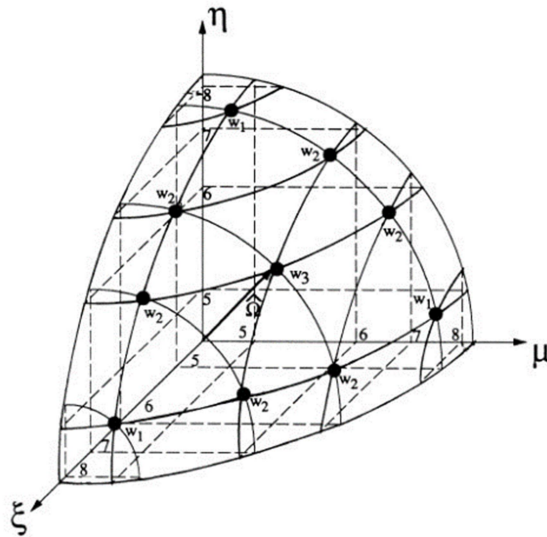
onde  $\alpha$  representa o coeficiente de absorção gasosa em  $[\text{1}/\text{atm.m}]$ ,  $T$  representa a temperatura local do gás em  $[\text{K}]$ ,  $\sigma$  é a constante de Stefan-Boltzmann, no valor de  $5,67 \times 10^{-8} [\text{W}/\text{m}^2.\text{K}^4]$ .

O DTRM integra a equação anterior ao longo de uma série de raios, logo, se  $\alpha$  é constante ao longo do raio,  $I(s)$  pode ser determinada por:

$$I(s) = \frac{\sigma T^4}{\pi} \times (1 - e^{-\alpha s}) + I_0 e^{-\alpha s}$$

onde  $I_0$  é a intensidade de radiação no início do percurso incremental, o qual é determinado pela condição de contorno apropriada. A fonte de energia no fluido devido à radiação é então calculada assumindo-se a mudança da intensidade ao longo do percurso para cada raio, que é rastreado através do volume de controle. A acurácia deste modelo é limitada em relação ao número de raios utilizados, sendo que um valor razoável seria de 8 raios.

Apesar da natureza isotrópica da radiação, a discretização da radiação em 16 raios torna resolução numérica computacional simplificada, pois a equação é resolvida apenas para cada raio, em todos os volumes finitos que compõem a malha. A Figura 12.10 apresenta a quarta parte de um hemisfério de um volume finito e os pontos de discretização. Os raios partem do centro do volume e atravessam os pontos grifados.



12.10 – Volume finito submetido a um fluxo de calor radiativo.

### 1.3.1 Modelo Espectral GG – Gray Gas

Este modelo é um dos mais simples e apresenta limitações, já que para uma espécie química gasosa o coeficiente de absorção sofre grande variação, em função do comprimento de onda. Entretanto trata-se de um modelo muito difundido que pode ser útil em várias aplicações de engenharia, além de reduzir significativamente o esforço computacional requerido e apresentando resultados satisfatórios.

### 2-Modelagem básica de um escoamento não isotérmico turbulento em CDF

A modelagem básica de um escoamento não isotérmico turbulento em CDF consiste na aplicação das equações de conservação de massa e espécies, quantidade de movimento e de energia, além de modelos de turbulência como o k-ε ou o k-ω. A seguir apresentam-se estas equações.

#### 2.1 Conservação de Massa e Espécie

A primeira equação resolvida pelo sistema é a conservação de massa e espécies químicas. Ela é resolvida para velocidade, pressão, temperatura dentre outras propriedades do fluido. O escoamento médio é modelado utilizando campos simples de temperatura, pressão, velocidade e turbulência. De acordo com Ansys (2011), para fluidos multicomponente, em regime estacionário, considerando-se a média de Favre, a equação de conservação pode ser expressa como descrito abaixo.

$$\frac{\partial(\tilde{\rho}_i \tilde{U}_j)}{\partial x_j} = -\frac{\partial}{\partial x_j} \left( \rho_i (\tilde{U}_{ij} - \tilde{U}_j) - \overline{\rho_i u_j} \right) + S_i$$

Sendo o termo  $\tilde{U}_j = \sum (\tilde{\rho}_i \tilde{U}_{ij}) / \tilde{\rho}$  a velocidade média em m/s;  $\tilde{\rho}$  a massa específica kg/m<sup>3</sup>;  $\tilde{U}_j$  é o vetor da velocidade também em m/s e  $\tilde{U}_{ij}$  é a velocidade da massa média do componente fluido *ij* m/s. O termo  $\rho_i (\tilde{U}_{ij} - \tilde{U}_j)$  denota a vazão mássica específica dada em kg/m<sup>2</sup>.s. O último termo da equação é o termo fonte  $S_i$ . Ele compreende as reações químicas, e

quando se trata de um escoamento sem reações, gerações ou consumo de um dado componente  $i$ , seu valor é zero. O termo de vazão mássica relativa é modelado para o movimento relativo dos componentes da mistura e o principal efeito é o do gradiente de concentração, conforme descrito por:

$$\rho_i \left( \tilde{U}_{ij} - \tilde{U}_j \right) = - \frac{\rho D_i}{\rho} \frac{\partial \tilde{\rho}_i}{\partial x_j}$$

onde  $D_i$  é a difusividade cinemática em  $m^2/s$ .

Com a substituição dos termos dessas expressões na equação da conservação da massa, considerando os termos turbulentos escalares sujeitos à uma dissipação turbulenta, obtêm-se equação da conservação de espécies químicas:

$$\frac{\partial}{\partial x_j} \left( \tilde{\rho} \tilde{U}_j \tilde{Y}_i \right) = \frac{\partial}{\partial x_j} \left( \left( \rho D_i + \frac{\mu_t}{Sc_t} \right) \frac{\partial \tilde{Y}_i}{\partial x_j} \right) + \bar{S}_i$$

onde  $\mu_t$  é a viscosidade turbulenta (Ns)/ $m^2$  e  $Sc_t$  é o número de Schmidt turbulento.

## 2.2 Conservação da Quantidade de Movimento

A conservação da quantidade de movimento para o escoamento do fluido é obtida através de ANSYS:

$$\frac{\partial}{\partial x_j} \left( \tilde{\rho} \tilde{U}_i \tilde{U}_j \right) = - \frac{\partial p^*}{\partial x_j} \delta_{ij} + \frac{\partial}{\partial x_j} \left( \mu_{eff} \frac{\partial \tilde{U}_i}{\partial x_j} \right) + \frac{\partial \tilde{U}}{\partial x_j \partial x_i} + \bar{S}_U$$

onde  $\mu_{eff} = \mu + \mu_t$ , sendo  $\mu$  a viscosidade dinâmica (Ns)/ $m^2$  e  $\mu_t$  a viscosidade turbulenta em (Ns)/ $m^2$  definida como  $\mu_t = C_\mu \rho k^2 / \varepsilon$ . O termo  $p^* = \bar{p} - (2/3)k$  é a pressão modificada em Pa,  $C_\mu$  é uma constante empírica para o modelo de turbulência, sendo igual a 0,09,  $\bar{p}$  é a pressão média da mistura gasosa expressa em Pa e  $\delta_{ij}$  é a função delta de Kronecker.  $\bar{S}_U$  é o termo fonte, inserido para modelar o empuxo e a força de arrasto gerada pelo transporte de partículas, e outros termos matemáticos gerados pelos modelos de turbulência, dado em  $W/m^3$ . O modelo de Boussinesq é empregado para representar a força de empuxo gerada pelas variações de densidade e o modelo  $k-\omega$  é aplicado para descrever a turbulência no escoamento (WILCOX, 1988).

## 2.3 Conservação de Energia

O transporte de energia em função da difusão de cada espécie química pode ser determinado por

$$\frac{\partial}{\partial x_j} \left( \tilde{\rho} \tilde{U}_j \tilde{h} \right) = \frac{\partial}{\partial x_j} \left( k_{con} \frac{\partial \tilde{T}}{\partial x_j} + \sum_i^{Nc} \tilde{h}_i \left( \rho D_i + \frac{\mu_t}{Sc_t} \right) \frac{\partial \tilde{Y}_i}{\partial x_j} + c_p \frac{\mu_t}{Pr_t} \frac{\partial \tilde{T}}{\partial x_j} \right) + \bar{S}_T$$

onde  $\tilde{h}$  é a entalpia média kJ/kg e  $c_p$  é o calor específico em kJ/(kgK), que é determinado por  $c_p = \sum_i \tilde{Y}_i c_{p,i}$ , onde  $c_{p,i}$  e  $\tilde{Y}_i$  são o calor específico e a média da fração mássica da  $i$ -espécies química da mistura;  $k_{condução}$  é a condutividade térmica dada em W/mK,  $Pr_t$  é o número

turbulento de Prandtl, e  $\bar{S}_T$  representam as fontes de energia térmica devido a transferência por radiação, as reações químicas e sumidouro de energia cuja unidade é W/m<sup>3</sup>, respectivamente.

### 2.4 Modelo de Turbulência $k - \omega$

O modelo de turbulência  $k - \omega$ , implementado, assume que a viscosidade turbulenta é conectada à energia cinética turbulenta e à frequência da turbulência através da equação abaixo:

$$\mu_t = \rho \frac{k}{\omega}$$

Conforme Wilcox (1988), as equações para energia cinética turbulenta,  $k$ , e sua frequência turbulenta,  $\omega$ , podem ser obtidas conforme.

$$\frac{\partial}{\partial x_j} (\bar{\rho} \tilde{U}_j \omega) = \left( \frac{\partial}{\partial x_j} \left( \mu + \frac{\mu_t}{\sigma_k} \right) \frac{\partial k}{\partial x_j} \right) + P_k - \beta' \rho k \omega$$

e

$$\frac{\partial}{\partial x_j} (\bar{\rho} \tilde{U}_j \omega) = \left( \frac{\partial}{\partial x_j} \left( \mu + \frac{\mu_t}{\sigma_\omega} \right) \frac{\partial \omega}{\partial x_j} \right) + \alpha \frac{\omega}{k} P_k - \beta \rho \omega^2$$

onde  $\beta'$ ,  $\beta$  e  $\alpha$  são constantes empíricas do modelo de turbulência,  $\sigma_k$  e  $\sigma_\omega$  são os números de Prandtl de energia cinética e frequência, respectivamente, e  $P_k$  é o termo fonte que representa produção ou destruição de energia cinética turbulenta dado por  $P_k = \mu_t \left( \frac{\partial U_i}{\partial x_j} + \frac{\partial U_j}{\partial x_i} \right)$ .

### 3- Aplicações

A seguir apresentam-se os casos a serem resolvidos para condução numa placa plana 2D, convecção forçada num tubo, convecção livre numa cavidade retangular e radiação de uma superfície para um meio semiesférico.

#### 3.1 Condução

A geometria a ser implementada no ICEM CFD está mostrada na Figura 3.1. Adotar dimensões em metros no ICEM.

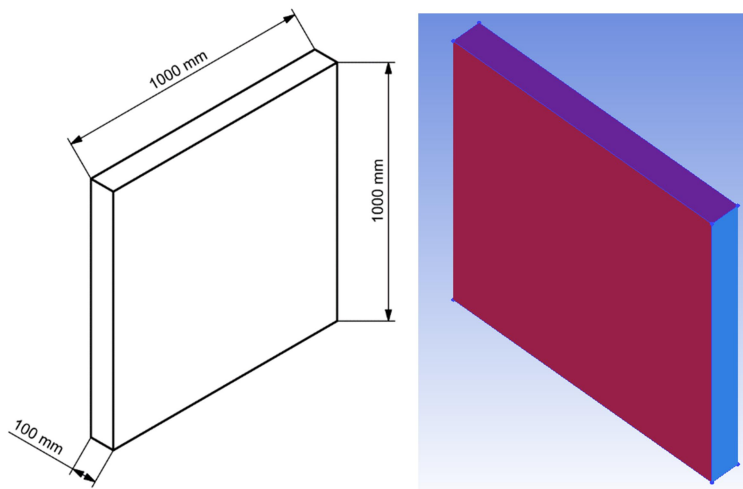


Figura 3.1 – Placa plana 2D.

Para esta geometria implementar uma malha com tamanho máximo para os volumes de controle de 0,05 m, considerando-se prismas para superfícies laterais direita e esquerda e inferior e superior como mostrado na Figura 3.2.

Part	Prism	Hexa-core	Maximum size	Height	Height ratio	Num layers	Tetra size ratio	Tetra width	Min size limit	Max deviation	Prism height limit factor	Prism growth law	Internal wall	Split wall
BOTTOM	<input checked="" type="checkbox"/>	<input type="checkbox"/>	0.05	0.001	1	12	0	0	0	0	0	undefined	<input type="checkbox"/>	<input type="checkbox"/>
CREATED_MATERIAL_14	<input type="checkbox"/>	<input type="checkbox"/>										undefined	<input type="checkbox"/>	<input type="checkbox"/>
FROT	<input type="checkbox"/>	<input type="checkbox"/>	0	0	0	0	0	0	0	0	0	undefined	<input type="checkbox"/>	<input type="checkbox"/>
GEDM	<input type="checkbox"/>	<input type="checkbox"/>	0	0	0	0	0	0	0	0	0	undefined	<input type="checkbox"/>	<input type="checkbox"/>
LEFT	<input checked="" type="checkbox"/>	<input type="checkbox"/>	0.05	0.001	1	12	0	0	0	0	0	undefined	<input type="checkbox"/>	<input type="checkbox"/>
REAR	<input type="checkbox"/>	<input type="checkbox"/>	0	0	0	0	0	0	0	0	0	undefined	<input type="checkbox"/>	<input type="checkbox"/>
RIGH	<input checked="" type="checkbox"/>	<input type="checkbox"/>	0.05	0.001	1	12	0	0	0	0	0	undefined	<input type="checkbox"/>	<input type="checkbox"/>
TOP	<input checked="" type="checkbox"/>	<input type="checkbox"/>	0.05	0.001	1	12	0	0	0	0	0	undefined	<input type="checkbox"/>	<input type="checkbox"/>

Show size params using scale factor  
 Apply inflation parameters to curves  
 Remove inflation parameters from curves  
 Highlighted parts have at least one blank field because not all entities in that part have identical parameters

Apply Dismiss

Figura 3.2 – Configuração da malha.

Como resultado tem-se a malha gerada e apresentada na Figura 3.3.

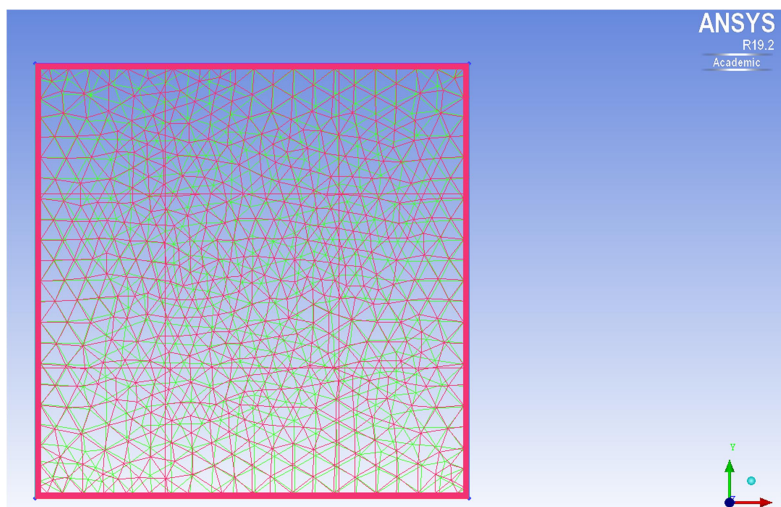


Figura 3.3 –Malha tetraédrica com prismas.

Para implementar o caso no CFX adotar a opção “General Mode”. Usar como material sólido o alumínio. Prescrever como condições de contorno Primeira Espécie ( $T$  prescrito) com valor igual a 100°C na base, e demais superfícies prescrever também temperatura, e igual a 0°C.

Após a solução realizada visualizar resultados, como os mostrados na Figura 3.4.

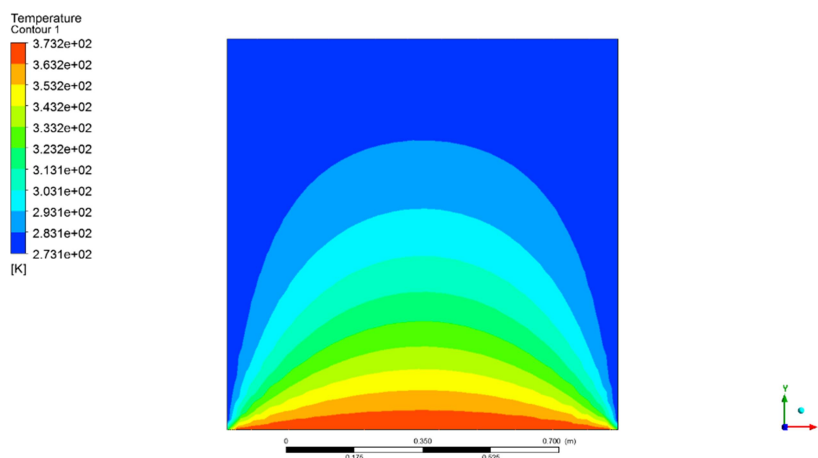


Figura 3.4 – Distribuição de temperaturas.

Testar também demais condições de contorno, com fluxo de calor por convecção prescrito, assumindo  $T_{\infty} = 100^{\circ}\text{C}$  e  $h = 100 \text{ W/m}^2\text{C}$  na base, mantendo-se as demais condições de contorno do caso anterior.

### 3.1 Convecção - Forçada

A geometria a ser implementada no ICEM CFD está mostrada na Figura 3.5. Adotar dimensões em milímetros no ICEM.

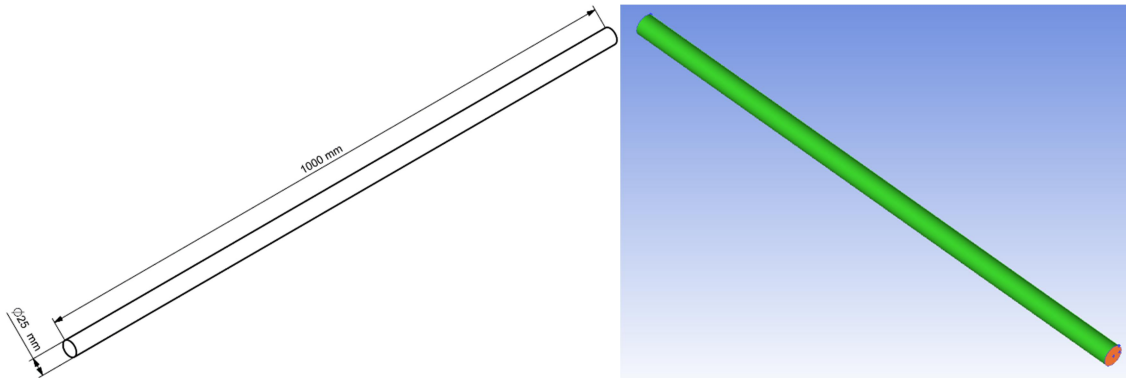


Figura 3.5 – Tubo cilíndrico 3D.

Para esta geometria implementar uma malha com tamanho máximo para os volumes de controle de 5 mm, considerando-se prismas apenas na superfície cilíndrica como mostrado na Figura 3.6.

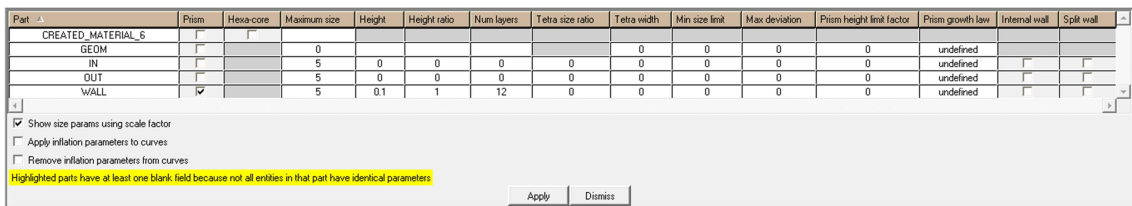


Figura 3.6 – Configuração da malha.

Como resultado tem-se a malha gerada e apresentada na Figura 3.7.

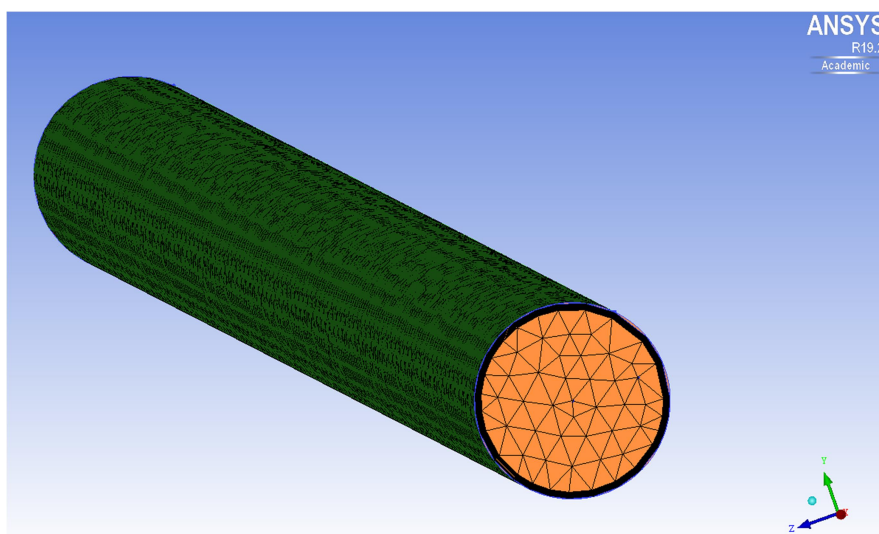


Figura 3.7 – Malha tetraédrica com prismas.

Para implementar o caso no CFX adotar a opção “General Mode”. Usar como material fluido o ar como gás perfeito, prescrevendo-se o modelo  $k-\omega$  para prever a turbulência. Prescrever como

condições de contorno Primeira Espécie ( $T$  prescrito) com valores para superfície tubular igual a  $600^{\circ}\text{C}$ , sendo que para a entrada deve prescrever velocidade uniforme de  $5\text{ m/s}$  e temperatura de  $20^{\circ}\text{C}$ , com intensidade de turbulência igual a  $10\%$ . Na saída prescrever pressão relativa de  $0\text{ Pa}$ .

Após a solução realizada visualizar resultados, como os mostrados na Figura 3.8.

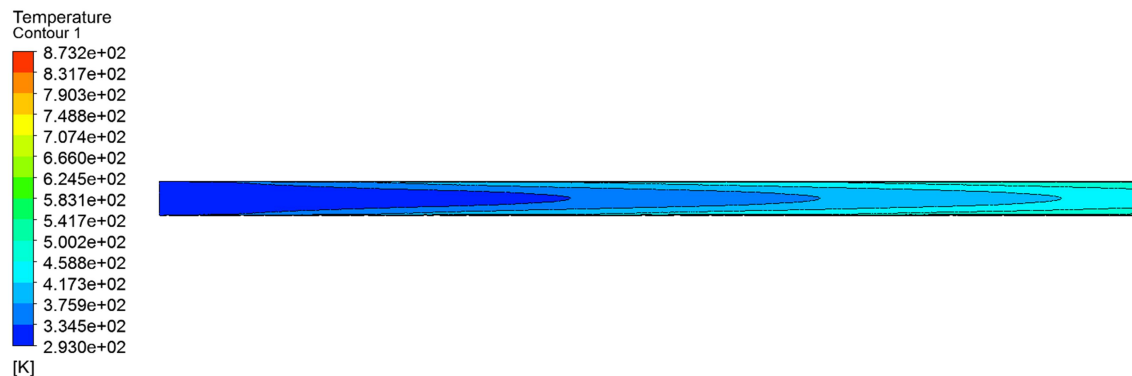


Figura 3.8 – Distribuição de temperaturas.

### 3.1 Convecção - Natural

Para implementação do caso de convecção natural ou livre adota-se a mesma geometria do caso de condução, considerando-se que a placa plana seja uma cavidade 3D retangular.

Para implementar o caso no CFX adotar a opção “General Mode”. Usar como material o ar como gás perfeito. Prescrever como condições de contorno Primeira Espécie ( $T$  prescrito) com valores para topo igual a  $10^{\circ}\text{C}$ , sendo para a base  $100^{\circ}\text{C}$ , e demais superfícies prescrever condições de isolamento. Prescrever a gravidade em  $y$  como  $-9,81\text{ m/s}^2$ , e a densidade de referência como sendo  $1,15\text{ kg/m}^3$ . Considerar modelo  $k-\omega$  com produção e dissipação turbulentas para o empuxo. Como caso B, fazer inversão dos valores das temperaturas no topo e na base.

Após a solução realizada visualizar resultados, como os mostrados na Figuras 3.9 e 3.10.

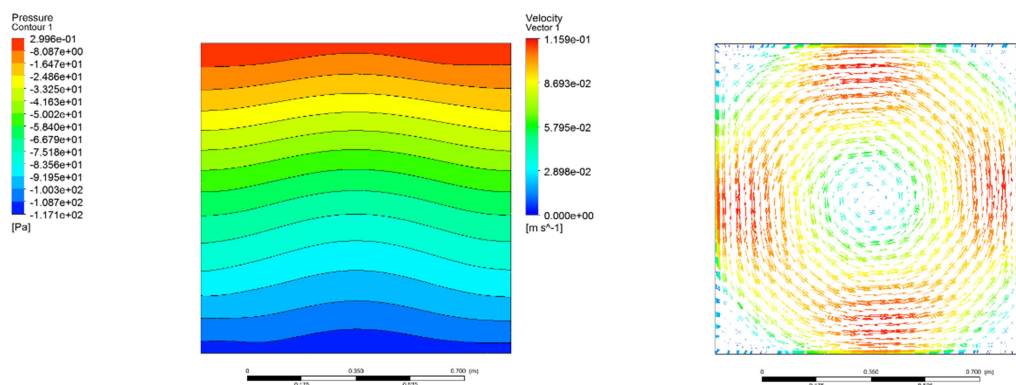


Figura 3.9 – Distribuição de pressões e velocidades.

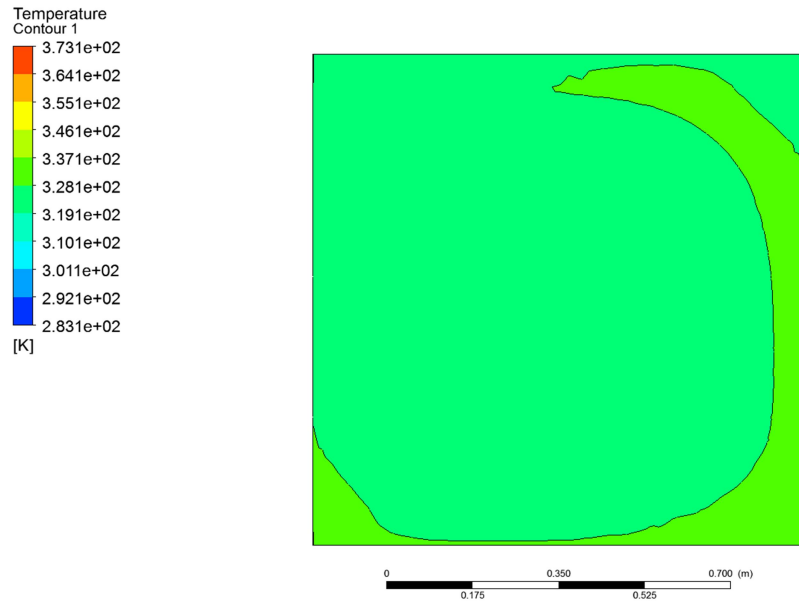


Figura 3.10 – Distribuição de velocidades.

### 3.1 Radiação

A geometria a ser implementada no ICEM CFD está mostrada na Figura 3.11. Adotar dimensões em milímetros no ICEM.

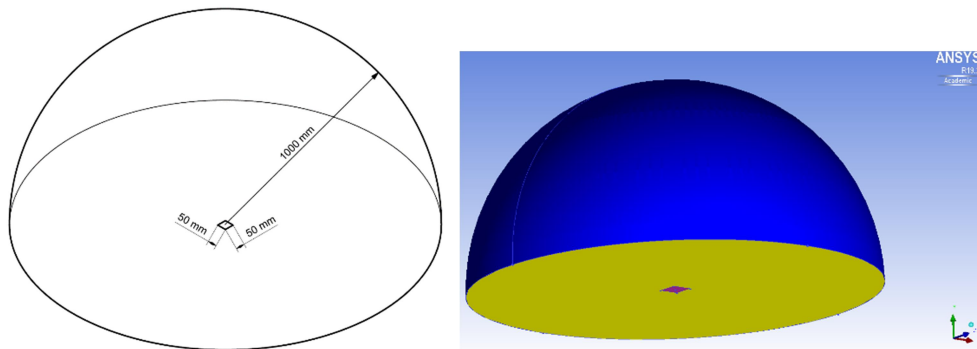


Figura 3.11 – Semiesfera sobre superfície retangular 2D.

Para esta geometria implementar uma malha com tamanho máximo para os volumes de controle de 50 mm, sendo que para a superfície da placa 2D o tamanho deve ser prescrito em 10 mm. Como resultado tem-se a malha gerada e apresentada na Figura 3.12.

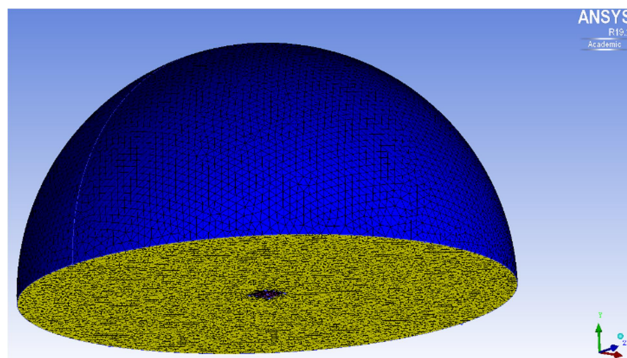


Figura 3.12 –Malha tetraédrica com prismas.

Para implementação do caso de radiação adota-se a mesma geometria apresentada na Figura 3.11, considerando-se que exista uma placa plana retangular no centro da base desta geometria 3D.

Para implementar o caso no CFX adotar a opção “General Mode”. Usar como material o ar como gás perfeito e assumir escoamento laminar. Prescrever como condições de contorno Primeira Espécie ( $T$  prescrito) na parede esférica igual a 1000 °C, sendo para placa sobre a base prescrever uma condição de terceira espécie ( $T_\infty = 20$  °C;  $h_\infty = 100$  W/m<sup>2</sup>K). Na Base prescrever condição de simetria. Desconsiderar a convecção natural e prescrever meio participante. Nos materiais, prescrever o valor de  $0,02428 \times 10^{-50}$  W/mK (isto equivale a zero numérico) para condutividade térmica; e  $0$  m<sup>-1</sup> para a absortividade do meio. Para placa e para a superfície esférica prescrever emissividade de 1 (corpo negro). Nas condições iniciais prescrever temperatura de 20°C.

Após a solução realizada visualizar resultados, como os mostrados na Figuras 3.13.

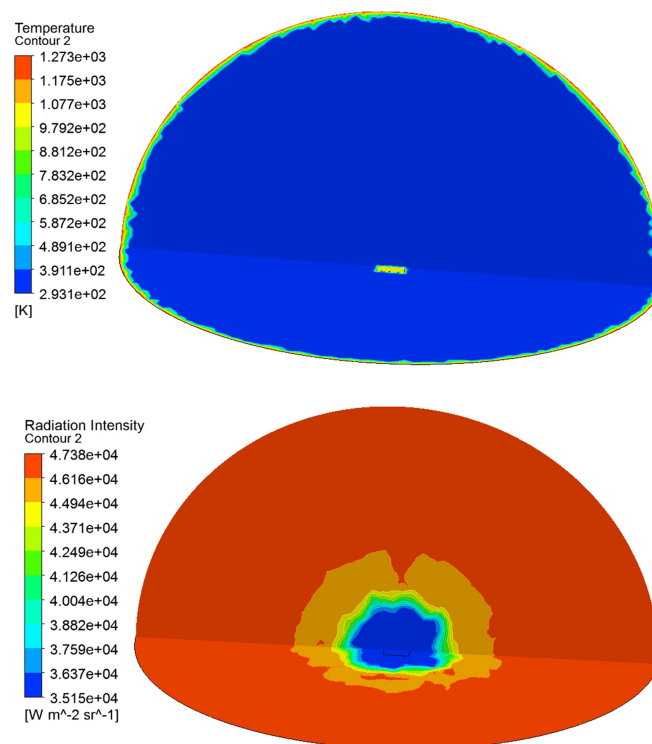


Figura 3.12 – Distribuição de temperaturas e Intensidade de radiação.

É possível na Figura 3.13 verificar os 16 raios onde são resolvidas a RTE sobre a semiesfera.

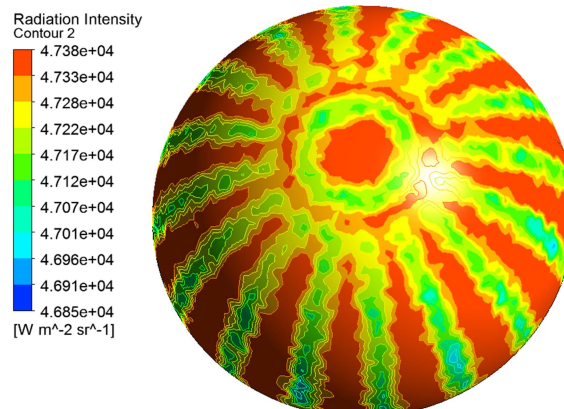


Figura 3.13 –Intensidade de radiação sobre a semiesfera.